

Магнитосопротивление и переход диэлектрик – металл в LaCoO_3 , индуцированный сильным магнитным полем

С. Г. Овчинников^{+*∇}, Ю. С. Орлов⁺¹⁾

⁺ Институт физики им. Л. В. Киренского Сибирского отд. РАН, 660036 Красноярск, Россия

^{*} Сибирский федеральный университет, 660041 Красноярск, Россия

[∇] Сибирский аэрокосмический университет, 660014 Красноярск, Россия

Поступила в редакцию 24 сентября 2010 г.

Теоретически исследована перестройка зонной структуры LaCoO_3 во внешнем магнитном поле. Поле меньше критического $B_C \approx 65$ Тл уменьшает диэлектрическую щель в LaCoO_3 и приводит к отрицательному магнитосопротивлению, достигающему максимума при $T \simeq 300 \div 500$ К. Критическое поле обусловлено кроссовером высокоспиновых термов иона Co^{3+} . Спиновый кроссовер приводит к переходу диэлектрик – металл с ростом магнитного поля.

В поведении LaCoO_3 с ростом температуры можно выделить три области: немагнитного диэлектрика, парамагнитного диэлектрика и парамагнитного металла [1, 2]. Переходы между ними плавные и размытые, это не фазовые переходы в классическом смысле, а кроссоверы. Недавно в работе [3] был предложен механизм перехода диэлектрик – металл, наблюдавшегося в LaCoO_3 в области температуры от 500 до 600 К. Для этого методом LDA+GTV [4], представляющим реализацию идей Хаббарда для многоэлектронных и многоорбитальных систем, была рассчитана электронная структура LaCoO_3 при конечных температурах. Описание электрона в сильно коррелированной системе в виде линейной комбинации хаббардовских фермионов – квазичастичных возбуждений между различными многоэлектронными состояниями (рис.1) позволило рассчитать и проанализировать поведение зонной структуры. В энергетическом спектре LaCoO_3 были выявлены внутрищелевые состояния, обусловленные переходами из возбужденного высокоспинового состояния конфигурации d^6 в высокоспиновое основное состояние конфигурации d^5 (пунктирные линии на рис.1), уменьшающее ширину диэлектрической щели E_g при повышении температуры. Спектральный вес квазичастичных возбуждений определяется заселенностью многоэлектронных состояний. Первый возбужденный уровень высокоспинового терма конфигурации d^6 отделен небольшой спиновой щелью $\Delta_{s-t} \approx 150$ К от низкоспинового 1A_1 [5–7] (рис.1). Поэтому с ростом T растут и магнитная восприимчивость, и ширина зоны внутрищелевых состояний по мере термическо-

го заселения возбужденных уровней. В настоящей работе мы показываем, что внешнее магнитное поле уменьшает спиновую щель и индуцирует переход LaCoO_3 в металлическое состояние.

Под воздействием внешнего магнитного поля трехкратно вырожденный уровень $J = 1$ и пятикратно вырожденный уровень $J = 2$ терма 5T_2 конфигурации d^6 расщепляются, как показано на рис.2. При критическом значении магнитного поля $B_C \approx \approx 65$ Тл [5] происходит кроссовер между основным низкоспиновым орбитальным синглетом 1A_1 и подуровнем с эффективным угловым моментом $J = 1$ и проекцией $m_{J=1} = 1$:

$$\Delta_{s-t}(B) = \Delta_{s-t}(0) - g\mu B,$$

μ – магнетон Бора, $g = 3, 4$ – фактор Ланде [5–7]. Пересечение уровней индуцирует магнитный переход, обнаруженный авторами [8] при измерении намагниченности LaCoO_3 . Величина критического поля соответствует точке перехода. Расщепление уровней в магнитном поле приведет к перераспределению их термической заселенности и, следовательно, к перераспределению спектрального веса квазичастичных возбуждений, образованных переходами из состояний с различной проекцией углового момента $m_{J=1} = 0, \pm 1$ и $m_{J=2} = 0, \pm 1, \pm 2$. Магнитное поле приводит к снятию вырождения многоэлектронных состояний, поэтому при расчете в схеме GTB расщепление уровней учитывается для всех рассматриваемых d^{n-1} , d^n и d^{n+1} конфигураций. В отличие от внешнего или химического давления магнитное поле приводит к уменьшению энергии перехода синглет – триплет и увеличивает скорость активации внутрищелевых состояний в зонном спектре с ростом температуры.

¹⁾ e-mail: jsr.krasn@mail.ru

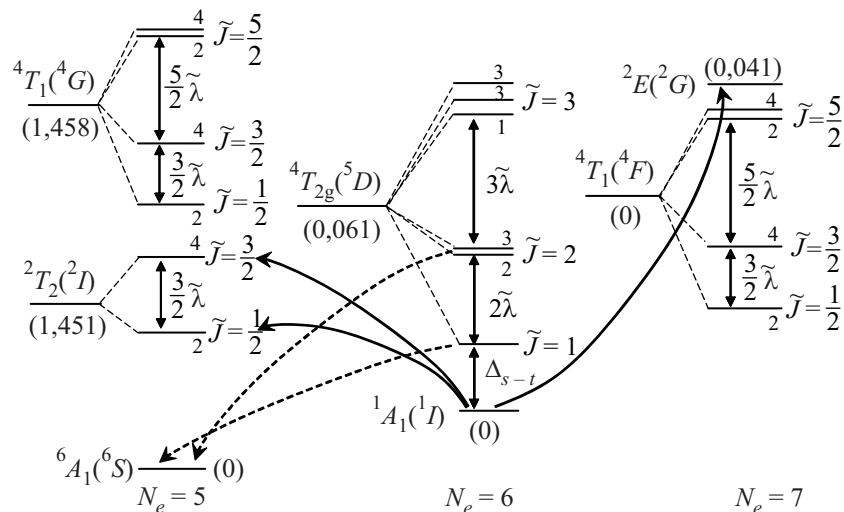


Рис.1. Набор низкоэнергетических термов для d^{N_e} , $N_e = 5,6,7$ электронных конфигураций в кристаллическом поле. При $T = 0\text{ К}$ заселен только основной низкоспиновый синглет 1A_1 ($N_e = 6$), фермиевские возбуждения, формирующие дно зоны проводимости и потолок валентной зоны, обозначены сплошными линиями. Пунктирными линиями отмечены переходы, ответственные за формирование внутрищелевых состояний с ростом температуры. Их спектральный вес определяется заселенностью возбужденного высокоспинового состояния конфигурации d^6 . В скобках указаны величины энергий термов относительно нижнего для каждой конфигурации в единицах электрон-вольт, при этом для каждого из трех подпространств гильбертова пространства выбрано свое начало отсчета энергии

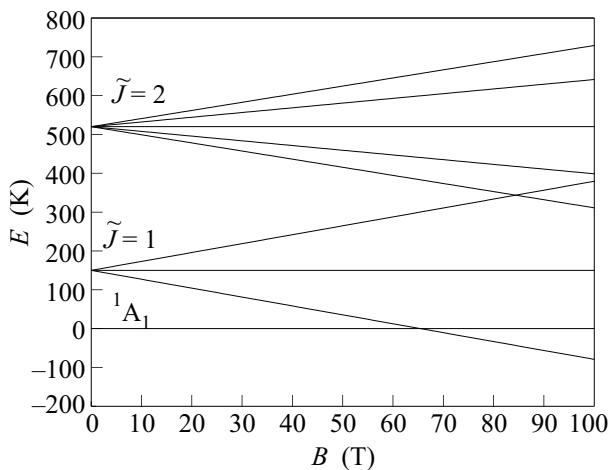


Рис.2. Энергия низко лежащих состояний иона Co^{3+} в магнитном поле

Особый интерес представляет переход диэлектрик–металл с изменением магнитного поля для сколь угодно малых температур. При температуре $T = 0\text{ К}$ и магнитном поле меньше критического значения $B < B_C$ заселен только основной терм – низкоспиновый синглет 1A_1 . Зонная структура, образованная переходами для валентной зоны d^6 $^1A_1 \rightarrow \rightarrow d^5$ 2T_2 $\tilde{J} = 1/2, \tilde{J} = 3/2$ и d^6 $^1A_1 \rightarrow d^7$ 2E для зоны проводимости (сплошные линии на рис.1), имеет диэлектрическую щель (рис.3а) [3]. Однако при $B > B_C$ основным становится высокоспиновое со-

стояние $|d^6 \ ^5T_2 \ \tilde{J} = 1, m_{\tilde{J}=1} = 1\rangle$ (рис.2). В результате меняется схема формирования хаббардовских фермионов. Квазичастичные переходы d^6 $^5T_2 \ \tilde{J} = 1, m_{\tilde{J}=1} = 1 \rightarrow d^7$ $^4T_1 \ \tilde{J} = 1/2, \tilde{J} = 3/2, \tilde{J} = 5/2$ и аналогичный терм d^5 (4T_1) формируют зону проводимости и валентную зону. Переходы d^6 $^5T_2 \ \tilde{J} = 1, m_{\tilde{J}=1} = 1 \rightarrow d^5$ 6A_1 , формирующие внутрищелевые состояния, имеют наибольший спектральный вес, а зонная структура имеет металлический тип (рис.3б). Щель схлопывается в точке Г. Следует отметить, что при $T = 0$ переход по полю является квантовым фазовым переходом Лифшица [9]. Плотность состояний на уровне Ферми и параметр Зоммерфельда $\gamma = C_e/T$ (где C_e – электронная теплоемкость) имеют особенность $\sim (B - B_C)^{1/2}$. Этот переход характеризуется топологическим параметром порядка [10].

При конечных температурах в интервале $kT \sim \sim |B - B_C|$ заселен как низкоспиновый 1A_1 , так и высокоспиновый 5T_2 термы конфигурации d^6 . В результате вклад внутрищелевых состояний в зонную структуру проявляется уже в полях $B < B_C$, и переход размыается. Поэтому при конечной температуре вместо фазового перехода имеет место плавный кроссовер.

На рис.4а приведена температурная зависимость диэлектрической щели E_g для различных значений магнитного поля B . Видно, что увеличение темпера-

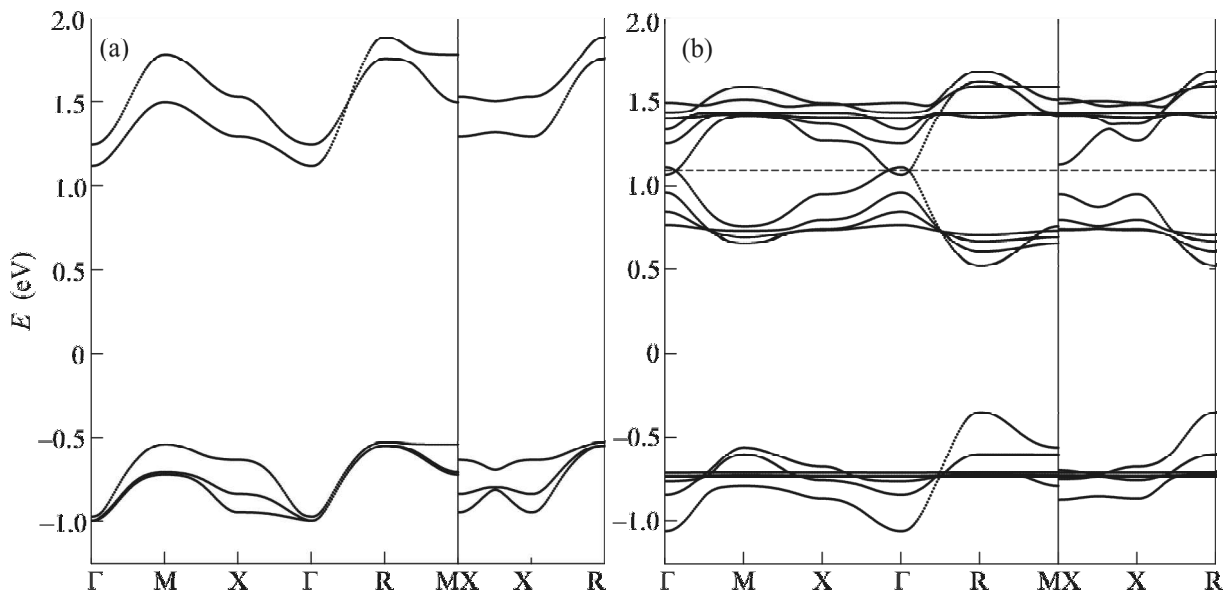


Рис.3. Квазичастичный спектр при $T = 0$ К и магнитном поле (а) $B < B_C$ и (б) $B > B_C$. Пунктирной линией показано положение химического потенциала

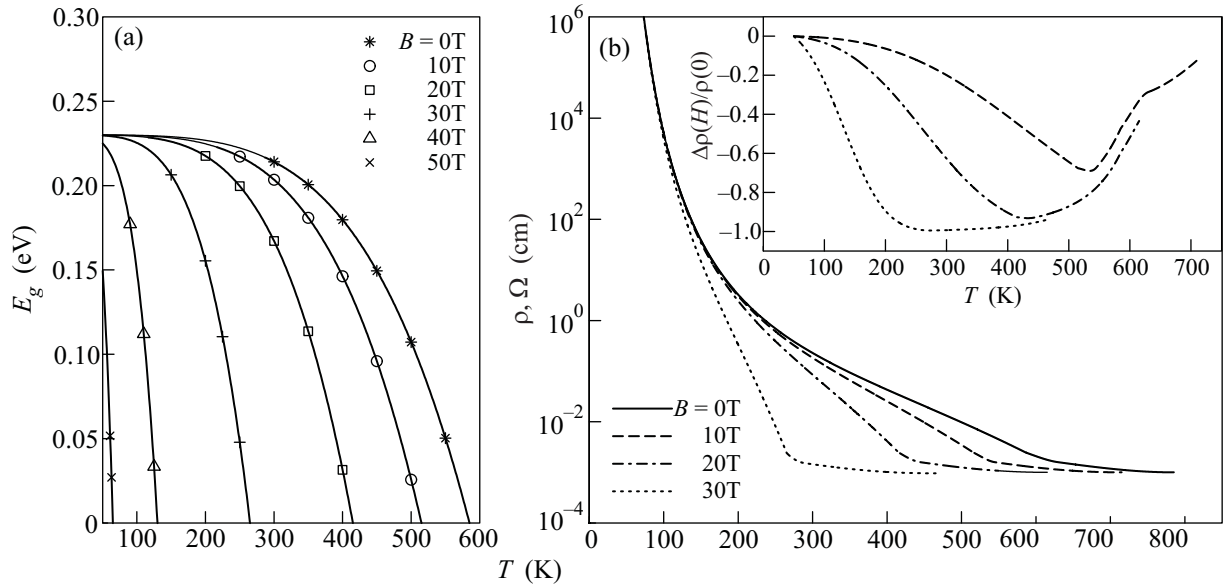


Рис.4. Влияние магнитного поля на температурные зависимости диэлектрической щели (а) и сопротивления (б). На врезке показано магнитосопротивление $\Delta\rho/\rho = (\rho(B) - \rho(0))/\rho(0)$, для тех же значений магнитного поля

туры и магнитного поля способствует уменьшению E_g . Характерная температура перехода T_{IMT} (температура, при которой E_g обращается в нуль) из состояния с диэлектрическими в состояние с металлическими свойствами уменьшается при наличии магнитного поля.

Следуя рассуждениям, сделанным в работе [3], мы получили (рис.4б) в диэлектрической области $B < B_C$ температурную зависимость электрического сопротивления для различных значений магнитного

поля. На врезке рис.4б показана температурная зависимость магнитосопротивления $(\rho(B) - \rho(0))/\rho(0)$, величина которого отрицательна и достигает по модулю максимального значения $\sim 100\%$ в диапазоне $300 \div 500$ К в умеренных полях. При магнитном поле B , равном 30 Тл, минимум магнитосопротивления находится в области комнатных значений температуры.

Для среднего значения квадрата углового момента можно записать выражение вида [3]

$$\begin{aligned}\langle \hat{J}^2 \rangle &= \sum_{pq} \langle p | \hat{J}^2 | q \rangle \langle X^{pq} \rangle = \\ &= \sum_N \sum_{p(N)} \langle p(N) | \hat{J}^2 | p(N) \rangle \langle X^{p(N)p(N)} \rangle,\end{aligned}$$

где сумма по N есть сумма по секторам гильбертова пространства ($N = 5, 6, 7$), $|p\rangle$ и $|q\rangle$ есть собственные состояния оператора \hat{J}^2 (рис.1): $\hat{J}^2 |p\rangle = J(J+1) |p\rangle$, X^{pq} – X-операторы Хаббарда, построенные на состояниях $|p\rangle$ и $|q\rangle$.

В качестве меры среднего значения оператора углового момента возьмем корень квадратный из среднего значения квадрата углового момента:

$$J_{av} = \sqrt{\langle \hat{J}^2 \rangle},$$

а поскольку средние значения $\langle X^{pp} \rangle$ зависят от температуры и магнитного поля, то и J_{av} есть функция температуры и магнитного поля (рис.5).

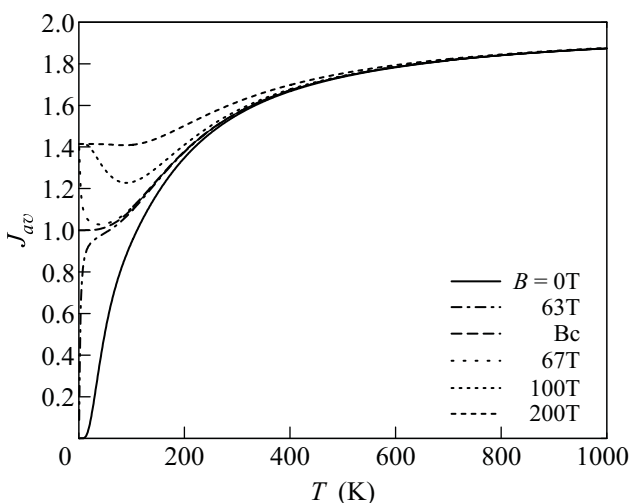


Рис.5. Зависимость среднего значения углового момента от температуры для различных значений магнитного поля B . Переход из немагнитного низкоспинового состояния при $T \approx 0$ К в парамагнитное состояние с ростом температуры. При температуре спинового перехода $T \sim 100$ К $J_{av} \approx 1$

При довольно низких значениях температуры и магнитном поле, равном нулю (сплошная линия на рис.5), среднее значение углового момента близко к нулю, что соответствует немагнитному состоянию LaCoO_3 . Ожидаемое для высокоспинового состояния значение $J_{av} \approx 2$ достигается только при $T \approx 1000$ К. При температуре, равной 100 К, среднее значение углового момента близко к единице. По нашему мнению, это может быть причиной широко распространенной неправильной точки зрения об определяющем

вкладе промежуточноспинового состояния в спиновый переход при температуре 100 К в LaCoO_3 [11–13].

Поведение J_{av} с ростом магнитного поля для начала лучше рассмотреть при $T = 0$. Средние значения $\langle X^{p(N)p(N)} \rangle$ пропорциональны термической заселенности состояний $|p(N)\rangle$. В случае без допиривания ненулевой вклад имеют средние значения для $N = 6$, поэтому при $B < B_C$ $J_{av} = 0$. В точке кроссовера при $B = B_C$ с вероятностью 1/2 заселены немагнитное, 1A_1 , и магнитное высокоспиновое состояния, $J_{av} = 1$, а при $B > B_C$ $J_{av} = \sqrt{2}$, поскольку основным является уже высокоспиновое состояние $|J = 1, m_J = 1\rangle$. С ростом температуры J_{av} в первом случае сначала стремится к единице при $T \approx 100$ К (как и в случае без поля) и к $J_{av} = 2$ при $T \approx 1000$ К. При $B > B_C$ первым термически возбужденным является немагнитное состояние 1A_1 , поэтому в температурной зависимости наблюдается минимум, постепенно уменьшающийся с ростом магнитного поля, и дальнейший рост.

В заключение отметим, что зависимость многоэлектронных термов иона Co^{3+} от магнитного поля приводит к спиновому кроссоверу при $B = B_C \approx \approx 65$ Тл. В полях $B < B_C$ уменьшение спиновой щели с полем приводит к большому (~100%) отрицательному магнитосопротивлению. В полях $B > B_C$ имеет место металлическое состояние LaCoO_3 . Все эти предсказания теории доступны экспериментальной проверке, поскольку критическое поле 65 Тл достижимо в настоящее время.

Работа выполнена при финансовой поддержке Программы ОФН РАН №2.3, интеграционного проекта СО РАН – УрО РАН № 40, ФЦП “Кадры” ГК №П891, грантов Российского фонда фундаментальных исследований #09-02-00171 и # 10-02-00251 и Некоммерческого Фонда “Династия”.

1. M. Tachibana, T. Yoshida, H. Kawaji et al., Phys. Rev. B **77**, 094402 (2008).
2. J. Baier, S. Jodlauk, M. Kriener et al., Phys. Rev. B **71**, 014443 (2005).
3. С. Г. Овчинников, Ю. С. Орлов, И. А. Некрасов, З. В. Пчелкина, ЖЭТФ **138**, вып. 6, в печати (2010).
4. M. M. Korshunov, V. A. Gavrichkov, S. G. Ovchinnikov et al., Phys. Rev. B **72**, 165104 (2005).
5. S. Noguchi, S. Kawamata, K. Okuda et al., Phys. Rev. B **66**, 094404 (2002).
6. M. J. R. Hoch, S. Nellutla, J. van Tol et al., Phys. Rev. B **79**, 214421 (2009).
7. Z. Ropka and R. J. Radwanski, Phys. Rev. B **67**, 172401 (2003).

8. K. Sato, A. Matsuo, K. Kindo et al., J. Phys. Soc. Jpn. **78**, 093702 (2009).
9. И. М. Лифшиц, ЖЭТФ **38**, 1569 (1960).
10. G. Volovik, *Quantum phase transitions from topology in momentum space in Quantum Analogues: From Phase Transitions to Black Holes and Cosmology*, Eds. W. G. Unruh and R. Schutzhold, Springer 2007, vol. 718 of “Lecture Notes in Physics”, pp. 31–73.
11. M. A. Korotin, S. Yu. Ezhov, I. V. Solovyev et al., Phys. Rev. B **54**, 5309 (1996).
12. K. Asai, A. Yoneda, O. Yokokura et al., J. Phys. Soc. Jpn. **67**, 290 (1998).
13. T. Saitoh, T. Mizokawa, A. Fujimori et al., Phys. Rev. B **55**, 4257 (1997).